

Kafes Sistemlerde Deformasyon Uzunluęu

Teorik, Simulatif ve Deneysel Inceleme

Betül Keęici
Halis Ateş
Berkay Soyluoęlu
Mustafa Ersin Bacaksız

Copyright © 2013 John Smith

This document is built upon on a \LaTeX theme made by John Smith.

Licensed under the Creative Commons Attribution-NonCommercial 3.0 Unported License (the “License”). You may not use this file except in compliance with the License. You may obtain a copy of the License at <http://creativecommons.org/licenses/by-nc/3.0>. Unless required by applicable law or agreed to in writing, software distributed under the License is distributed on an “as is” basis, without warranties or conditions of any kind, either express or implied. See the License for the specific language governing permissions and limitations under the License. *First printing, September, 2020*

CONTENTS

I	Kafes Sistemler	
1	Teorik Bilgilendirme	6
1.1	Çubuklarda Şekil Değişirme	6
1.2	Castigliano Teoremi	6
2	DeneySEL Çalışmalar	10
2.1	Deneyin Amacı ve Metodolojisi	10
2.2	Malzemeler	10
2.3	Deney Kurulumu	10
2.4	Bulgular ve Tartışma	11
A	Ekler	13
A.1	Kaynak Kodları	13
A.1.1	Örnek	13
A.1.2	Deney	14

Kafes Sistemler

1	Teorik Bilgilendirme	6
1.1	Çubuklarda Şekil Değişirme	
1.2	Castigliano Teoremi	
2	DeneySEL Çalışmalar	10
2.1	Deneyin Amacı ve Metodolojisi	
2.2	Malzemeler	
2.3	Deney Kurulumu	
2.4	Bulgular ve Tartışma	
A	Ekler	13
A.1	Kaynak Kodları	

TEORİK BİLGİLENDİRME

Bu Bölümün İçeriği

Çubuk şeklinde olan elemanların sadece uzunluğu (ekseni) doğrultusunda yüklenmesine aksel yüklemeye denir. Aksel yüklemeye bir eksen doğrultusunda olduğu için aynı zamanda tek akselli yüklemeye de denir. Bu yüklemeye çekme veya basma şeklinde olur. Çubuğun kesit alanı değişken olabilir. Bu tip çubuklara kademeli çubuklar denir. Şimdi amacımız, aksel yüklemeye maruz çubuk şeklindeki elemanlarda toplam uzama veya kısalma miktarını hesaplamaktır.

1.1 Çubuklarda Şekil Değiştirme

Çubuğun uzaması

$$s = \frac{F(s)L}{AE} \quad (1.1)$$

ile ifade edilebilir. Burada E elastisite modülü, A ise kesit alanıdır. Burada yapılan iş ise şöyle ifade edilir:

$$W = \int_0^L F(s)ds \quad (1.2)$$

Equation 1.1'deki kuvvet ifadesi Equation 1.2'ye yazılırsa

$$W = \int_0^{\Delta L} \frac{EA}{L} s ds = \frac{1}{2} \frac{EA}{L} s^2 \Big|_0^{\Delta L}$$
$$W = \frac{1}{2} \frac{EA}{L} \Delta L^2 = \frac{1}{2} \frac{F^2 L}{EA}$$

elde edilir çünkü Equation 1.1'e göre

$$\Delta L = \frac{FL}{EA}$$

1.2 Castigliano Teoremi

Cubukta uzamanin kuvvete bagli sekil degistirmesi ve grafik uzerinde yapilan isin gorsellestirilmesi yukaridaki videoda gosterilmistir. Videonun izlenebilmesi icin *Foxit Reader* kullanilip *Safe Reading Mode* deaktif edilmelidir.

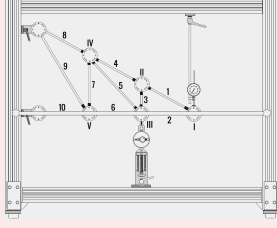
Uzama karakteristigi incelendigine gore simdi de denge enerji turunden incelenmelidir.

Castigliano'nun teoreminin iki temel şarti vardir:

Remark Doğrusal elastik malzeme davranışı (Hooke Yasası uygulanabilmelidir) ve sıcaklık değişikliklerinden kaynaklanan uzama olmaması.

Theorem 1.2.1 — Castigliano Teoremi. Castigliano'nun ikinci teoremi cismin gerilme

Exercise 1.2 I noktasındaki yer degistirme mesafesini F kuvvetine gore bulun.



Buradaki dugumlerdeki cekme ve basma gerilmeleri siradaki gibi bulunur:

$$S_1 = P \sin(\theta_{1-2})$$

$$S_3 = 0$$

$$S_2 = -S_1 \cos \theta_{1-2}$$

$$S_4 = S_1$$

$$S_5 = \frac{F}{\sin \theta_{5-6}}$$

$$S_7 = \frac{S_4 \cos \theta_{1-2} + S_5 \cos \theta_{5-6}}{\cos \theta_{1-2}}$$

$$S_6 = S_2 - S_5 \cos \theta_{5-6}$$

$$S_8 = (S_4 - S_5) \sin \theta_{1-2} - S_5 \sin \theta_{5-6}$$

$$S_9 = -S_7 \sin \theta_{9-10}$$

$$S_{10} = S_6 - S_9 \cos \theta_{9-10}$$

Bu denklemler [subsection A.1.2](#) koduna yazilip cozduruldugunde [Table 2.2](#)'deki sonuca ulasilir. Tablo icerisinde ayriyeten simulasyon degerlerine de yer verilmistir.

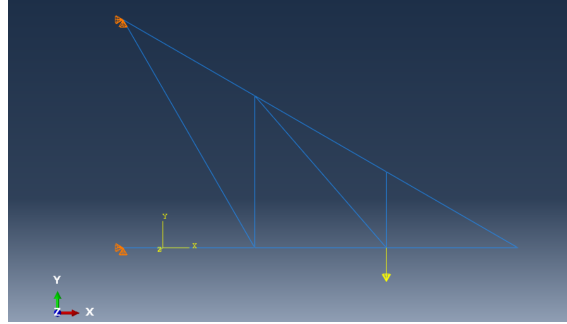


Figure 1.2: Abaqus ile yapilan deney simulasyonu

DENEYSEL ÇALIŞMALAR

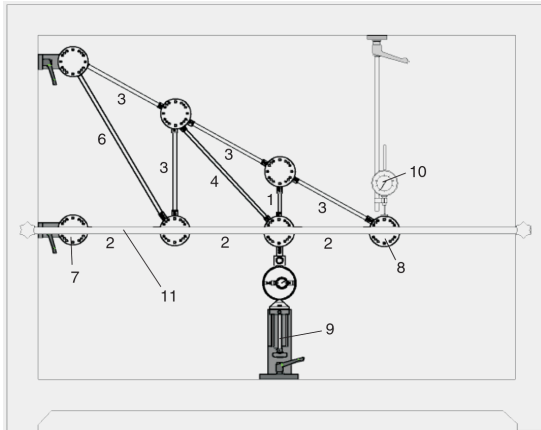
Bu Bölümün İçeriği

Deney, teorik analiz için bir öngörü yaratmayı amaçlamaktadır. Deney düzeneği, süreci, materyalleri okuyucuya tam bir anlayış kazandırmak için dahil edilmiştir, böylece aynı deneyi yapmak isteyen bir kişi bu bilgilerden yararlanarak deneyi yapabilir.

2.1 Deneyin Amacı ve Metodolojisi

Deneyde kafes sistemlerinde korunumlu yükler varlığında düğüm noktalarındaki yer değişimlerinin analiz edilmesi incelenmesi arzulanmaktadır. Bunun için Castigliano Teoremi kullanılmıştır ve simülasyona oluşturma için Abaqus programı ile desteklenmiştir.

2.2 Malzemeler



- 1, 2, 3, 4, 6: Çubuk
- 7: Düğüm diski desteği
- 8: Düğüm diski
- 9: Dairesel kuvvet ölçer ve tutucuya sahip yükleme ünitesi
- 10: Kadran
- 11: Kafesin yan stabilitesi için travers

2.3 Deney Kurulumu

Elemanlar taban çerçevesine yerleştirilir ve sıkıştırma kolları ile sabitlenir. Merkezleme, profilin yuvalarından gerçekleştirilir. Kelepçeleme kolunu taban plakasından yukarıdan yuvadaki yuva somununa vidalayın. Sıkıştırma kolu fareyle vidalanamıyorsa, aşağıdaki şekilde ilerleyin:

- Aksın sıkma kolunu bir tornavida ile sıkıca aşağıya doğru çevirin.
- Tutma kolunu yukarı doğru çekerek, tutma kolu ile aks arasındaki bağlantıyı bırakın.
- Sıkma kolunun dingili tornavidayla çıkarılabilir.

- Kol bırakıldığında, bir kez daha aksa güvenli bir şekilde yerleşir.
- El kolu, sıkma veya serbest bırakma işlemine karşı durursa, yukarı çekip çevirerek farklı bir konuma getirilebilir.

Her iki desteği de çerçevenin dikey kısmına monte edin.

- Üst destek: 820 mm yükseklikte
- Alt destek: 370 mm yükseklikte

Bunu yapmak için, geçmeli kapağın bağlantı civatalarını parmaklarınızla birbirine bastırın ve geçmeli kapağı düğümün delikli plakaları arasına itin. Ardından bağlantı civatalarının çubuk açısına göre geçmesine izin verin. Daha uzun çubuk akslar, düğüm diskinin orta noktasından geçmelidir.

Remark

Kararlı bir kafes oluşturmak için, her durumda düğüm diskinin kilitleme pimine bir düğüm çubuğu yerleştirilmelidir. Bu, düğüm diskini bir çubukla güvenli bir şekilde bağlar.

Çubuklar, dış çapı 16 mm ve kalınlığı 1.8 mm olan boru şeklindeki PVC'den yapılmıştır. Çubukların uçlarında, düğüm disklerine geçen özel geçmeli kapaklar vardır. Düğümler delikli dairesel disklerden oluşur. Her diskte 30° ve 45°'lik ölçek bölümleri mümkün olacak şekilde 16 delik vardır. İki çubuk arasındaki en küçük açı aralığı 30°'dir. Bu, bir düğüme en fazla 12 çubuğun bağlanmasını sağlar. Dış gerilmeler, kuvvet ölçüm birimi aracılığıyla kafes kirişe uygulanır ve destek reaksiyonları ölçülür. Çekirdek bir kuvvet ölçüm halkasıdır. Bu, dış kuvvetin etkisi altında elastik olarak deforme olur. Bu sapma, bir konum ölçüm mastarı ile ölçülür ve kuvvetin doğrudan ölçümüdür. Bir kuvvet üretebilmek için, ilgili test nesnesinin (başka bir deyişle kafes kiriş) önce ön gerilime sahip olması gerekir. Düğümlerle oynayarak bunu amaçlarız. Ön gerdirmeye, ince dişli bir mil ve bir el çarkı ile gerçekleştirilir. Kuvvet ölçme ünitesi, farklı açılara hareket ettirilebilmesi için herhangi bir noktada çerçeveye kelepçelenebilir. 200 N'ye kadar olan gerilme ve basınç kuvvetlerinin uygulanmasını ve ölçülmesini sağlar.

Remark

Dikkat: Kirişi aşırı yüklemeyin.
Maks. izin verilen yük ± 200 N

2.4 Bulgular ve Tartışma

Malzemenin uniform olmaması oluşabilecek hatalara işaret ediyor. Orneğin elastisite modulu materyal boyunca esit kabulü yapılmıştır ama bu gerceği yansıtmamaktadır.

Ayrıca aletleri okuma hatası gibi kullanıcı temelli hatalar bulunabilir.

Bunların dışında deney setinde dial gaugelerin uyguladığı kuvvet ve yükün asıldığı aparatların oluşturduğu ağırlıklar ihmal edilmmiştir. Bu da fiziki durumun gerçekliğinden uzak sonuçlar vermesine yol açacaktır. Orneğin komparatorlar çubukta deformasyonu artırır ve aparatlar da ağırlığa etki edeceğinden yer değiştirme mesafesini arttıracaktır.

Son olarak teoremin getirdiği birkaç kabulden oturu deneylerde farklılıklar gözlemlenebilir. Bu kabuller şu şekilde listelenebilir:

- Enerji kaybına rastlanmaması
- Malzemenin doğrusal elastik olması
- Uzunlukta sıcaklıktan etkilenmeme

Kuvvet Kodlayıcı		Yer değiştirme		
Kuvvet [N]	Uzaklık [0.01 mm]	Teorik [0.01mm]	Deneysel [0.01mm]	Simülasyon [0.01mm]
20	2	32.2		27.8
40	4	64.4		56.8
60	6	96.7		83.5
80	8	128.9		111.4
100	10	161.1	209	139.2
120	12	193.3		116.7
140	14	225.5		194.9
160	16	257.7		222.7
180	18	299		250.6
200	20	322.2	350	278.4

Table 2.1: Örnekteki yer değiştirme

Kuvvet Kodlayıcı		Yer değiştirme		
Kuvvet [N]	Uzaklık [0.01 mm]	Teorik [0.01mm]	Deneysel [0.01mm]	Simülasyon [0.01mm]
20	2	11.81		9.81
40	4	23.63		19.62
60	6	35.44		29.43
80	8	47.26		39.24
100	10	59.07		49.05
120	12	70.89		58.86
140	14	82.70		68.67
160	16	94.51		78.48
180	18	106.3		88.29
200	20	118.14		98.1

Table 2.2: Deneydeki yer değiştirme

EKLER

A.1 Kaynak Kodlari

A.1.1 Ornek

```
1 clear;clc
2 L = [.26, .136, .136, .136, .26, .136];
3 E = 154e7;
4 A = 8.03e-5;
5
6 P = sym('P');
7 baz=[];
8 for F = 20:20:200
9     S1(P) = (F + P)/sin(pi/4);
10    S2(P) = -S1*cos(pi/4);
11    S3(P) = -S1*sin(pi/4);
12    S4(P) = S1*cos(pi/4);
13    S5(P) = -S3/sin(pi/4);
14    S6(P) = S2 - S5*cos(pi/4);
15
16    foo = {S1, S2, S3, S4, S5, S6};
17
18    sum=0;
19    for i=1:length(foo)
20        bar(P) = cell2sym(foo(i));
21        sum=sum+ double(diff(bar, P))*double(bar(0))*L(i);
22    end
23    disp([F, sum/A/E*10^5]);
24 end
```

A.1.2 Deney

```

1 clear;clc
2 theta_56 = atan(2/sqrt(3));
3 theta_12 = atan(1/sqrt(3));
4 theta_90 = atan(sqrt(3));
5 L = [.136, .131, .006, .136, .233, .131, .136, .136, .356,
↪.131];
6 E = 154e7;
7 A = 8.03e-5;
8
9 P = sym('P');
10 S1(P) = P/sin(theta_12);
11 S2(P) = -S1*cos(theta_12);
12 S3(P) = symfun(0,P);
13 S4(P) = S1;
14 for F = 20:20:200
15     S5(P) = symfun(F/sin(theta_56),P);
16     S6(P) = S2 - S5*cos(theta_56);
17     S8(P) = (S4*cos(theta_12) + S5 * cos(theta_56)) /
↪cos(theta_12);
18     S7(P) = (S8-S4)*sin(theta_12) - S5 * sin(theta_56);
19     S9(P) = -S7/sin(theta_90);
20     S10(P) = S6 - S9*cos(theta_90);
21
22     foo = {S1, S2, S3, S4, S5, S6, S7, S8, S9, S10};
23
24     sum=0;
25     for i=1:length(foo)
26         bar(P) = cell2sym(foo(i));
27         sum=sum+ double(diff(bar, P)) * double(bar(0)) * L(i);
28     end
29     disp([F, sum/A/E*10^5]);
30 end

```

INDEX

C

Castigliano Teoremi.....7

D

Deney kurulumu.....10

M

Malzemeler 10